

Houben

VERMÖGENSVERWALTUNG

Neubau Hauptstraße 6 Eichenau

Hydraulischer Nachweis Neubau

Hauptstraße 6 Eichenau

Projekt-Nr.: 295843

Bericht-Nr.: 02

Erstellt im Auftrag von:
Houben Vermögensverwaltung GmbH
Alter Hof 6
80331 München

Heiko Nöll, Maik Solbrig, Jonathan Pietsch

2024-04-17

INHALTSVERZEICHNIS

1	VERSICKERUNGSPLANUNG UND RETENTIONSRAUMBEMESSUNG	6
1.1	Niederschlagswasserbemessung.....	7
1.2	Retentionsraumnachweis.....	9
2	HYDRODYNAMISCHER NACHWEIS.....	12
2.1	Vergleich Wasserspiegel PLAN-Zustand und IST-Zustand	12
2.2	Wasserspiegellage im PLAN-Zustand um die Gebäudekubatur	13
2.3	Ergebnisse Fließgeschwindigkeiten.....	16
3	HYDROGEOLOGISCHES GUTACHTEN.....	17
3.1	Grundlagenermittlung	17
3.2	Auswirkungen des Bauwerks auf das Grundwasser.....	17
3.3	Auswirkungen des Bauwerks auf die Nachbarn	22
3.4	Auswirkungen beim Führen einer Grundwasserhaltung (Bauzeitliche Wasserhaltung)	22
3.4.1	Verfahren der Wasserhaltung	22
3.4.2	Bauzeitenplan der Wasserhaltungsmaßnahmen	23
3.4.3	Planung der Absenkbrunnen	23
3.4.4	Wassermengen und Reichweiten.....	24
3.4.5	Grundwasserverhältnisse außerhalb des Troges	27

ABBILDUNGSVERZEICHNIS

	Seite
Abbildung 1-1: Starkniederschlagshöhen für KOSTRA-DWD-2020 [U1]	6
Abbildung 1-2: Mögliche Position der Niederschlagswasserversickerung (Beispiel). Magenta: Vorreinigung, Gelb: Rigole.....	8
Abbildung 1-3: Überschwemmungssituation HQ 100 (max. Wassertiefe [m], Hauptstr. 6 hervorgehoben)	9
Abbildung 1-4: Überschwemmung HQ100 Baukörper IST-Zustand (lila: Baukörper, grün: Überschwemmungssituation HQ 100)	10
Abbildung 1-5: Überschwemmung HQ100 Baukörper PLAN-Zustand (lila: Baukörper, grün: Überschwemmungssituation HQ100)	11
Abbildung 1-6: Vorschlag für Retentionsmulde Hochwasser.....	12
Abbildung 2-1: Vergleich der Wasserspiegel im PLAN-Zustand und IST-Zustand (Differenz: PLAN- Zustand minus IST-Zustand)	13
Abbildung 2-2: Wasserspiegellage im PLAN-Zustand [m ü. NHN] entlang der Gebäudekubatur (blau: Wasserspiegellage; braun: Geländehöhe)	14
Abbildung 2-3: Übersicht über den Wasserspiegel im PLAN-Zustand um den Baukörper	14
Abbildung 2-4: Magnitude des Geschwindigkeitsfeldes	16
Abbildung 3-1: Strömungsbereiche unter Gründungskörper nach Dachler	18
Abbildung 3-2: Anströmrichtung Untergeschoss (UG) bzw. Tiefgarage (TG).....	19
Abbildung 3-3: Grundwassergleichenkarte.....	20
Abbildung 3-4: Richtung des Grundwasserflusses	21

TABELLENVERZEICHNIS

	Seite
Tabelle 1-1: Flächenbilanz Plangebiet	6
Tabelle 1-2: Ergebnisse der Muldenbemessung nach DWA-A 138	7
Tabelle 1-3: Ergebnisse der Rigolenbemessung nach DWA-A 138	8
Tabelle 1-4: Ergebnisse Retentionsraumverlust.....	11
Tabelle 2-1: Ergebnis Wasserspiegel Lage um die Gebäudekubatur im PLAN-Zustand vom Startpunkt aus.....	15
Tabelle 3-1: Grundlagenermittlung bzw. Höhenangaben im Plangebiet (Hydrogeologie)	17
Tabelle 3-2: Ergebnisse Auswirkungen des Bauwerks auf das Grundwasser.....	22
Tabelle 3-3: Höhenangaben im Plangebiet	22
Tabelle 3-4: Abschätzung Wassermengen	25

UNTERLAGENVERZEICHNIS

- [U1] KOSTRA DWD 2020, <https://www.openko.de/>, 17.06.2024
- [U2] DWA Arbeitsblatt A138, 17.06.2024
- [U3] Geotechnisches Gutachten P23007, Grundbaulabor München, 05.05.2023
- [U4] DIN 4123: 2013-04, Ausschachtungen, Gründungen und Unterfangungen im Bereich bestehender Gebäude
- [U5] DGM1 Bayern (opendata), 17.06.2024
- [U6] Haupttabelle für Grundwasserstände, Bayerisches Landesamt für Umwelt, 02.04.2024
- [U7] Machbarkeitsstudie, Neubau eines Mehrfamilienhauses mit Gewerbeeinheit und Tiefgarage
Hauptstraße 6, 82223 Eichenau, 28.03.2023
- [U8] BAYERN.RECHT, www.gesetze-bayern.de BayWG-46
- [U9] Teamwerk Architekten, Flächenaufschlüsselung, 28.05.2024n

1

VERSICKERUNGSPLANUNG UND RETENTIONSRAUMBEMESSUNG

Die Bemessung der zu Versickernden Regenmenge richtet sich nach den örtlichen Niederschlagsdaten nach KOSTRA-2020-DWD [U1] und der Flächenbilanz des Plangebietes [U9].

Starkniederschlagshöhen und -spenden gemäß KOSTRA-DWD-2020

openko.de

Rasterfeld 202163

(Zeile 202, Spalte 163)

Regenspende und Bemessungsniederschlagswerte in Abhängigkeit von Wiederkehrzeit T und Dauerstufe D

Dauerstufe D min Std	1 a mm	Wiederkehrzeit T										100 a mm I / (s ha)
		2 a mm	3 a mm	5 a mm	10 a mm	20 a mm	30 a mm	50 a mm	100 a mm I / (s ha)			
5	7,8	260,0	9,3	310,0	10,3	343,3	11,6	386,7	13,4	446,7	15,3	510,0 16,5 550,0 18,1 603,3 20,4 680,0
10	10,2	170,0	12,2	203,3	13,5	225,0	15,1	251,7	17,5	291,7	19,9	331,7 21,5 358,3 23,7 395,0 26,7 445,0
15	11,7	130,0	14,1	156,7	15,5	172,2	17,4	193,3	20,1	223,3	23,0	255,6 24,8 275,6 27,2 302,2 30,7 341,1
20	12,9	107,5	15,5	129,2	17,0	141,7	19,1	159,2	22,1	184,2	25,2	210,0 27,3 227,5 29,9 249,2 33,8 281,7
30	14,7	81,7	17,6	97,8	19,4	107,8	21,8	121,1	25,2	140,0	28,7	159,4 31,0 172,2 34,1 189,4 38,4 213,3
45	16,6	61,5	19,9	73,7	22,0	81,5	24,7	91,5	28,5	105,6	32,5	120,4 35,2 130,4 38,6 143,0 43,5 161,1
60	1	18,1	50,3	21,7	60,3	24,0	66,7	26,9	74,7	31,1	86,4	35,5 98,6 38,3 106,4 42,1 116,9 47,5 131,9
90	1,5	20,4	37,8	24,5	45,4	27,0	50,0	30,3	56,1	35,1	65,0	40,0 74,1 43,3 80,2 47,5 88,0 53,5 99,1
120	2	22,3	31,0	26,7	37,1	29,4	40,8	33,0	45,8	38,2	53,1	43,6 60,6 47,1 65,4 51,7 71,8 58,3 81,0
180	3	25,0	23,1	30,0	27,8	33,1	30,6	37,2	34,4	43,0	39,8	49,1 45,5 53,0 49,1 58,2 53,9 65,6 60,7
240	4	27,2	18,9	32,7	22,7	36,0	25,0	40,4	28,1	46,8	32,5	53,3 37,0 57,6 40,0 63,3 44,0 71,3 49,5
360	6	30,6	14,2	36,7	17,0	40,5	18,8	45,5	21,1	52,6	24,4	60,0 27,8 64,8 30,0 71,1 32,9 80,2 37,1
540	9	34,4	10,6	41,3	12,7	45,5	14,0	51,1	15,8	59,1	18,2	67,4 20,8 72,9 22,5 80,0 24,7 90,2 27,8
720	12	37,4	8,7	44,9	10,4	49,5	11,5	55,5	12,8	64,3	14,9	73,3 17,0 79,2 18,3 86,9 20,1 97,9 22,7
1080	18	42,0	6,5	50,4	7,8	55,6	8,6	62,4	9,6	72,2	11,1	82,3 12,7 88,9 13,7 97,6 15,1 110,1 17,0
1440	24	45,7	5,3	54,7	6,3	60,4	7,0	67,8	7,8	78,4	9,1	89,4 10,3 96,6 11,2 106,0 12,3 119,6 13,8
2880	48	55,7	3,2	66,8	3,9	73,7	4,3	82,7	4,8	95,7	5,5	109,1 6,3 117,9 6,8 129,4 7,5 145,9 8,4
4320	72	62,6	2,4	75,0	2,9	82,8	3,2	92,9	3,6	107,5	4,1	122,6 4,7 132,4 5,1 145,4 5,6 163,9 6,3
5760	96	68,0	2,0	81,5	2,4	89,9	2,6	100,9	2,9	116,8	3,4	133,1 3,9 143,8 4,2 157,9 4,6 178,0 5,2
7200	120	72,5	1,7	86,9	2,0	95,8	2,2	107,6	2,5	124,5	2,9	141,9 3,3 153,3 3,5 168,3 3,9 189,8 4,4
8640	144	76,3	1,5	91,6	1,8	101,0	1,9	113,3	2,2	131,2	2,5	149,5 2,9 161,6 3,1 177,3 3,4 199,9 3,9
10080	168	79,8	1,3	95,7	1,6	105,5	1,7	118,5	2,0	137,1	2,3	156,3 2,6 168,9 2,8 185,4 3,1 209,0 3,5

Abbildung 1-1: Starkniederschlagshöhen für KOSTRA-DWD-2020 [U1]

Tabelle 1-1: Flächenbilanz Plangebiet

Flächenbilanz	Abflussbeiwert	Größe [m ²]	A _u undurchlässige Fläche in [m ²]
Flachdach	0,5	366	183
TG-Abfahrt	0,5	38	19
Begrünung	0,2	239	47,8
Grünfläche	0,2	142	28,4
Gehweg und Zuwegung	0,9	143	128,7
Summe		928	406,9
Mittlerer Abflussbeiwert Plangebiet	0,44		

1.1 Niederschlagswasserbemessung

Die Bemessung nach DWA Arbeitsblatt A138 [U2] ergibt ein erforderliches Muldenspeichervolumen von 8,4 m³ für das Niederschlagwasser (vgl. Tabelle 1-2).

Tabelle 1-2: Ergebnisse der Muldenbemessung nach DWA-A 138

Ergebnisse der Muldenbemessung			
maßgebende Dauer des Bemessungsregens	D	min	45
maßgebende Regenspende	$r_{D(n)}$	$l/(s \cdot ha)$	91,5
erforderliches Muldenspeichervolumen	V	m^3	8,4
gewähltes Muldenspeichervolumen	V_{gew}	m^3	8,4
Einstauhöhe in der Mulde	t_M	m	0,30
Entleerungszeit der Mulde	t_E	h	1,7
gewählter Durchlässigkeitsbeiwert	k_f	m/s	$1 \cdot 10^{-4}$

Aufgrund der beengten Platzverhältnisse können Versickerungsmulden, insbesondere mit i.d.R. gewählter max. Wassertiefe von 30 cm, auf dem vorhandenen Flurstück nicht umgesetzt werden, ohne einschlägige Bemessungsgrundsätze zu verletzen (Abstandsgebot zu Nachbargrundstücken, Baukörpern im Untergrund).

Aus diesem Grund erfolgt im nächsten Schritt eine Bemessung für die Anforderungen von Sickerrigolen (Sickerboxen), welche entlang der Hauswände angebracht und überbaut werden können:

Gemäß DWA-A138 muss ein Mindestabstand von 1 m zum MHGW (Mittlerer höchster Grundwassersstand) eingehalten werden. Zur Ermittlung des MHGW wurde von der Grundwassermessstelle Station Eichenau Q17 die Differenz zwischen MGW und MHGW von 0,61 m ü. NHN auf den MGW des Projektgebietes von 519,6 m ü. NHN [U3] addiert. Damit ergibt sich ein zu erwartender MHGW von 520,21 m ü. NHN. Bei einer Geländehöhe von ca. 522,45 m ü. NHN ist die Versickerung über eine Rigole nicht ausgeschlossen.

Für einen geringeren Platzbedarf wird ein Kunststoffblocksystem mit einem Speicherkoefizienten von 0,9 gewählt. Die Tabelle 1-3 stellt die Ergebnisse von einer Rigole mit einer Höhe von 0,7 m und einer Breite von 1,5 m dar. Diese Maße sind beispielhaft zu verstehen und reizen den vorhandenen Spielraum noch nicht gänzlich aus.

Tabelle 1-3: Ergebnisse der Rigolenbemessung nach DWA-A 138

Ergebnisse der Rigolenbemessung

maßgebende Dauer des Bemessungsregens	D	min	20
maßgebende Regenspende	$r_{D(n)}$	$l/(s \cdot ha)$	139,2
erforderliche Rigolenlänge	L	m	6,37
gewählte Rigolenlänge	L_{gew}	m	6,4
vorhandenes Speichervolumen Rigole	V _R	m ³	6,05
gewählter Durchlässigkeitsbeiwert	k _f	m/s	$1 \cdot 10^{-4}$

Mit den im Beispiel genannten Annahmen ergibt sich eine erforderliche Rigolenlänge von 6,4 m. Entlang des Hausumgriffs des Neubaus, bevorzugt an der Ostseite, sollte das Anbringen von Rigolen mit der genannten Gesamtlänge unproblematisch sein. Das Sammeln des Regenwassers an der Nordostecke würde sich anbieten. Dann wäre ggf. auch eine Aufteilung in zwei Rigolen-Stränge auf Ost- und Nordseite möglich. Da die Kellerwände ohnehin druckwasserdicht ausgeführt sind, ist das Ansetzen der Rigolen ohne Abstand direkt an der Außenwand zulässig.

Das Niederschlagswasser ist vsl. der Belastungsklasse I zuzuordnen (keine Metalldächer, wenig [beanspruchte] Verkehrsflächen) – in dem Fall ist nach DWA A-138 keine Vorreinigung notwendig. Sollte für die Genehmigung trotzdem eine Vorreinigung erforderlich sein, könnte der Absetschacht z.b. an der Nordostecke des Grundstücks untergebracht werden.

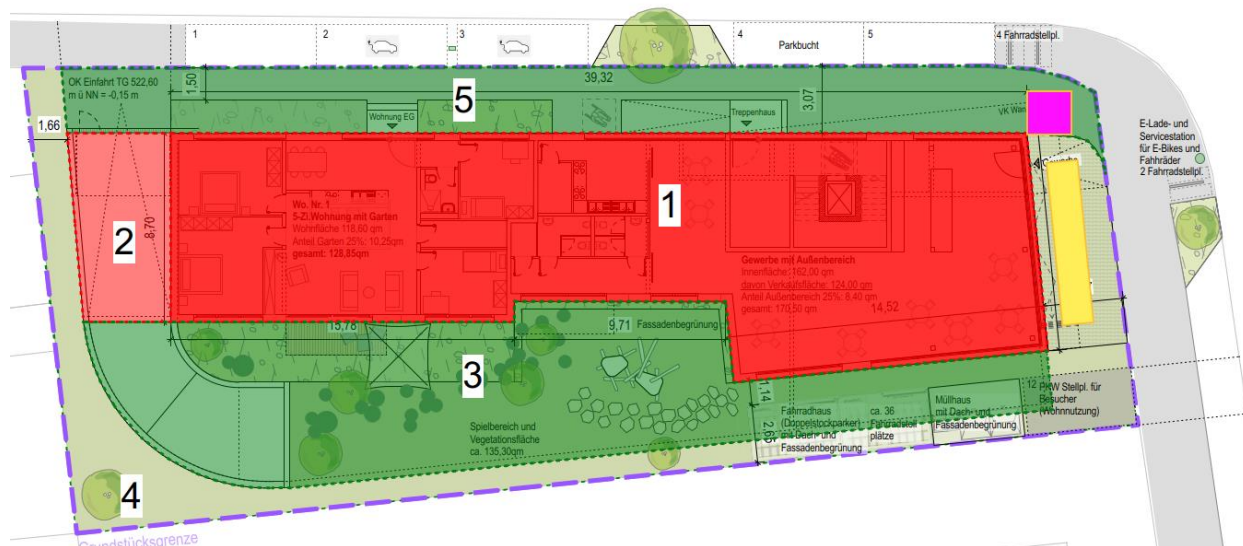


Abbildung 1-2: Mögliche Position der Niederschlagswasserversickerung (Beispiel). Magenta: Vorreinigung, Gelb: Rigole

1.2 Retentionsraumnachweis

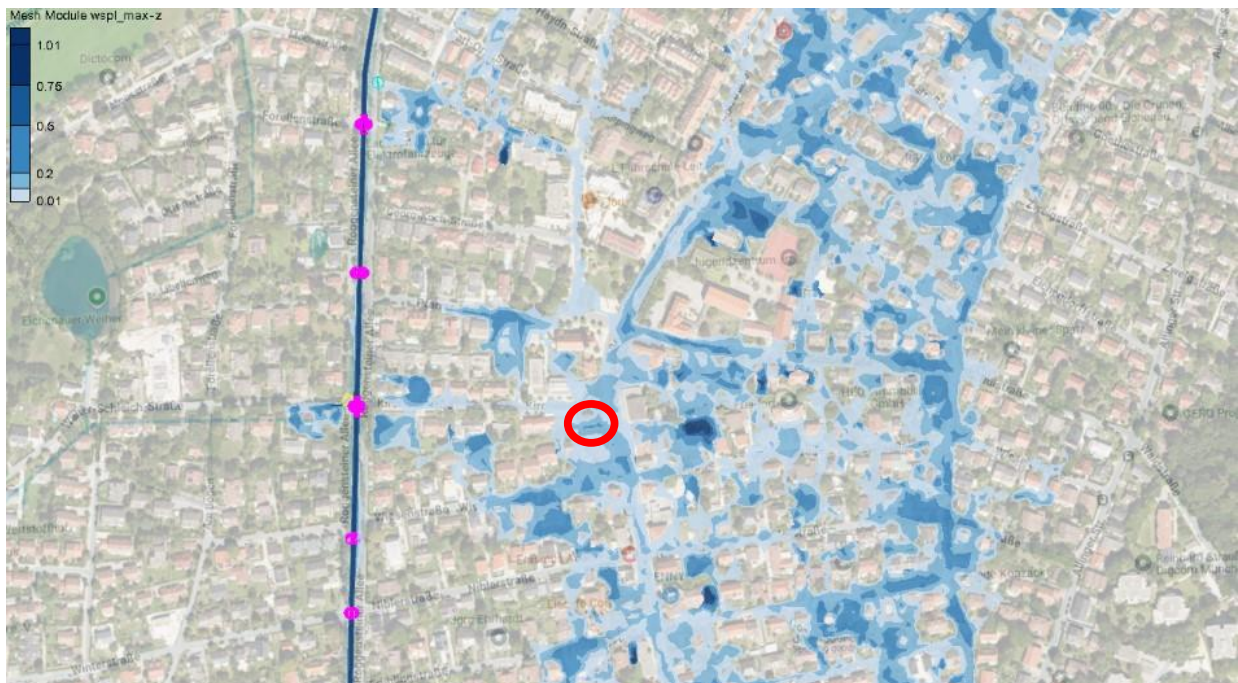


Abbildung 1-3: Überschwemmungssituation HQ 100 (max. Wassertiefe [m], Hauptstr. 6 hervorgehoben)

Überschwemmungsgebiete sind Gebiete zwischen oberirdischen Gewässern und Deichen oder Hochufern und sonstige Gebiete, die bei Hochwasser eines oberirdischen Gewässers überschwemmt oder durchflossen oder die für Hochwasserentlastung oder Rückhaltung beansprucht werden (§ 76 Abs. 1 WHG). In festgesetzten Überschwemmungsgebieten ist die Errichtung oder Erweiterung baulicher Anlagen nach den Paragrafen 30, 33, 34 und 35 des Baugesetzbuches untersagt (§ 78 Abs. 4 WHG). Die Errichtung oder eine Erweiterung einer baulichen Anlage kann die Behörde im Einzelfall zulassen, wenn der verloren gegangene Retentionsraum jedoch umfang-, funktions- und zeitgleich ausgeglichen wird. Sofern auf eigenen Grundstücken kein Rückhalteraum geschaffen werden kann, kommt ggf. auch ein zentraler Ausgleich entsprechend Art. 46 Abs. 7 BayWG in Betracht (vgl. [U8]). Maßgebend ist das Überschwemmungsgebiet im HQ100 Fall, also bei einem statistisch 100-jährlichen Hochwasser.

Eine Gesamtübersicht über die Überschwemmungssituation im HQ100 Fall im Plangebiet liefert Abbildung 1-3.

Hinweis zum vorliegenden Gutachten: Sowohl für den Retentionsraumnachweis in diesem Abschnitt als auch für Vergleichszwecke in Abschnitt 2 kam das dem Büro CDM Smith zur Verfügung stehende hydraulische HydroAS-Modell des AmperVerbands aus der Aktualisierung WWA 03/2021 zum Einsatz. Nach Redaktionsschluss stellte sich heraus, dass in 03/2024 durch das WWA München eine erneute Aktualisierung dieses Modells erfolgt war.

Im Zuge der Überarbeitung dieses Berichts wurden die Ergebnisdaten der alten mit der neuen Variante im Bezug auf die infragestehende Örtlichkeit verglichen – dabei konnten **keine Veränderungen** der Wasserspiegellagen oder generell der Strömungssituation im IST-Zustand HQ100 festgestellt werden. Die **Analyse auf Basis des ‚älteren‘ Modells** von vor der letzten Aktualisierung ist also im Umfeld der Hauptstr.6 in Eichenau weiterhin **aktuell**.

Im Falle des Plangebietes wird ein Baukörper entfernt, der schon vorher in dem HQ 100 Überschwemmungsgebiet lag, und durch einen neuen Baukörper ersetzt. Damit wird die Differenz des verdrängten Wasservolumens des Baukörpers im IST-Zustand und des verdrängten Wasservolumens des Baukörpers im PLAN-Zustand ermittelt. Diese Differenz bedeutet bei einem positiven Wert einen Retentionsraumverlust und bei einem negativen Wert einen Retentionsraumgewinn.



Abbildung 1-4: Überschwemmung HQ100 Baukörper IST-Zustand (lila: Baukörper, grün: Überschwemmungssituation HQ 100)

Die Abbildung 1-4 zeigt die Überschwemmung des Baukörpers (lila) im IST-Zustand und das verdrängte Wasservolumen beträgt 27.63 m³.

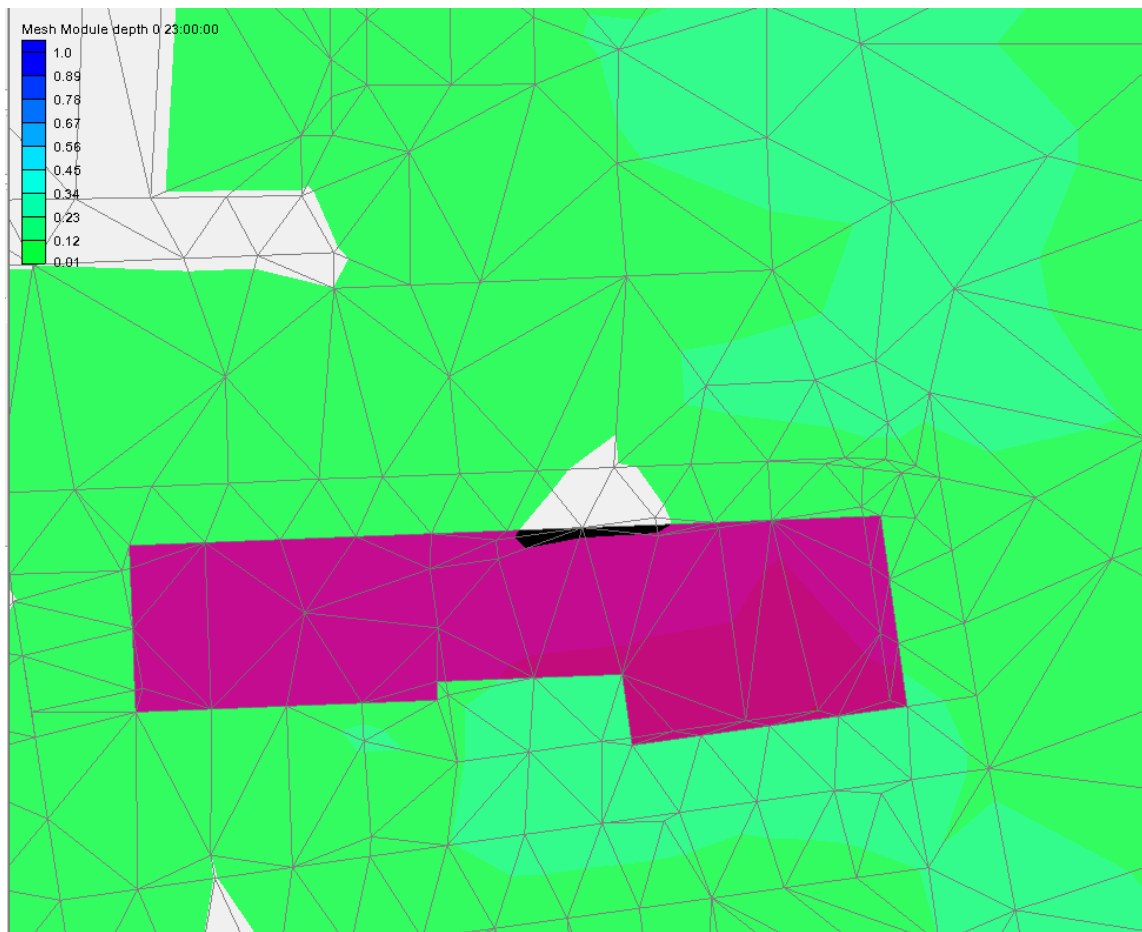


Abbildung 1-5: Überschwemmung HQ100 Baukörper PLAN-Zustand (lila: Baukörper, grün: Überschwemmungssituation HQ100)

Die Abbildung 1-5 zeigt die Überschwemmung des Baukörpers (lila) im PLAN-Zustand und das verdrängte Wasservolumen beträgt 27.63 m^3 . Tabelle 1-4 fasst die Resultate aus der Auswertung der Überschwemmungsfläche im HQ100-Fall zusammen. Insgesamt wird durch Neuplanung ein Retentionsraumverlust von 5.84 m^3 entstehen, der auszugleichen ist.

Tabelle 1-4: Ergebnisse Retentionsraumverlust

Baukörper	Verdrängtes Wasservolumen HQ100 [m^3]
IST-Zustand	27.63
PLAN-Zustand	33.47
Retentionsraumverlust in [m^3]	5.84

Dieser Retentionsraumverlust ist entweder durch flächigen Geländeabtrag (bezogen auf den für diese Studie verwendeten PLAN-Zustand) oder durch die gezielte Anlage von Retentionsmulden auszugleichen. Wichtig ist hierbei, dass das geschaffene Volumen ‚hochwasserzugänglich‘ ist.

Beispielhaft ist in nachfolgender Abbildung eine mögliche Ausführung entlang der Tiefgaragen-Abfahrt aufgezeigt. Diese Variante hält maximalen Abstand zu Nachbargrundstücken ein, auch wenn es für Retentionsraumausgleich nicht unbedingt erforderlich ist, und liegt im Überschwemmungsbereich, ist also zugänglich.

Die Abgebildete Mulde mit etwa 7,5 m² Sohlfläche, 60 cm Tiefe und 1:1 Böschungen (flacher möglich, dann mehr Volumen) würde dann in etwa 6,4 m³ zusätzliches Volumen fassen, der Ausgleich wäre erbracht. Bei Bedarf könnte also je nach Ausführung der Mulde auch noch ein Teil des (z.B. auf dem TG-Dach) anfallenden Niederschlagswassers (vgl. vorheriger Abschnitt) eingeleitet und versickert werden.



Abbildung 1-6: Vorschlag für Retentionsmulde Hochwasser

2 HYDRODYNAMISCHER NACHWEIS

Beim hydrodynamischen Nachweis wurde in einem PLAN-Rechenlauf das Geschwindigkeitsfeld der Wasserströmung im modellierten Plangebiet und die Wasserspiegellage inklusive Tiefgarageneinfahrt (TG) analysiert und ausgewertet. Die Auswertung dieses neuen Zustands ergibt dann das Fließgeschehen im PLAN-Zustand und in der Umgebung des Plangebietes.

2.1 Vergleich Wasserspiegel PLAN-Zustand und IST-Zustand

Der Vergleich der Wasserspiegel im PLAN-Zustand und im IST-Zustand zeigt im Wesentlichen zwei Bereiche, die eine Änderung im Planzustand und in der Umgebung bedeuten:

- Südlicher Gebäuderand: Erhöhung des Wasserspiegels um 3 cm

- Nördlicher Gebäuderand: Absenkung des Wasserspiegels um 3 cm auf der Kirchenstraße entlang des neuen Gebäudes und des Gehweges in zwei Teilbereichen

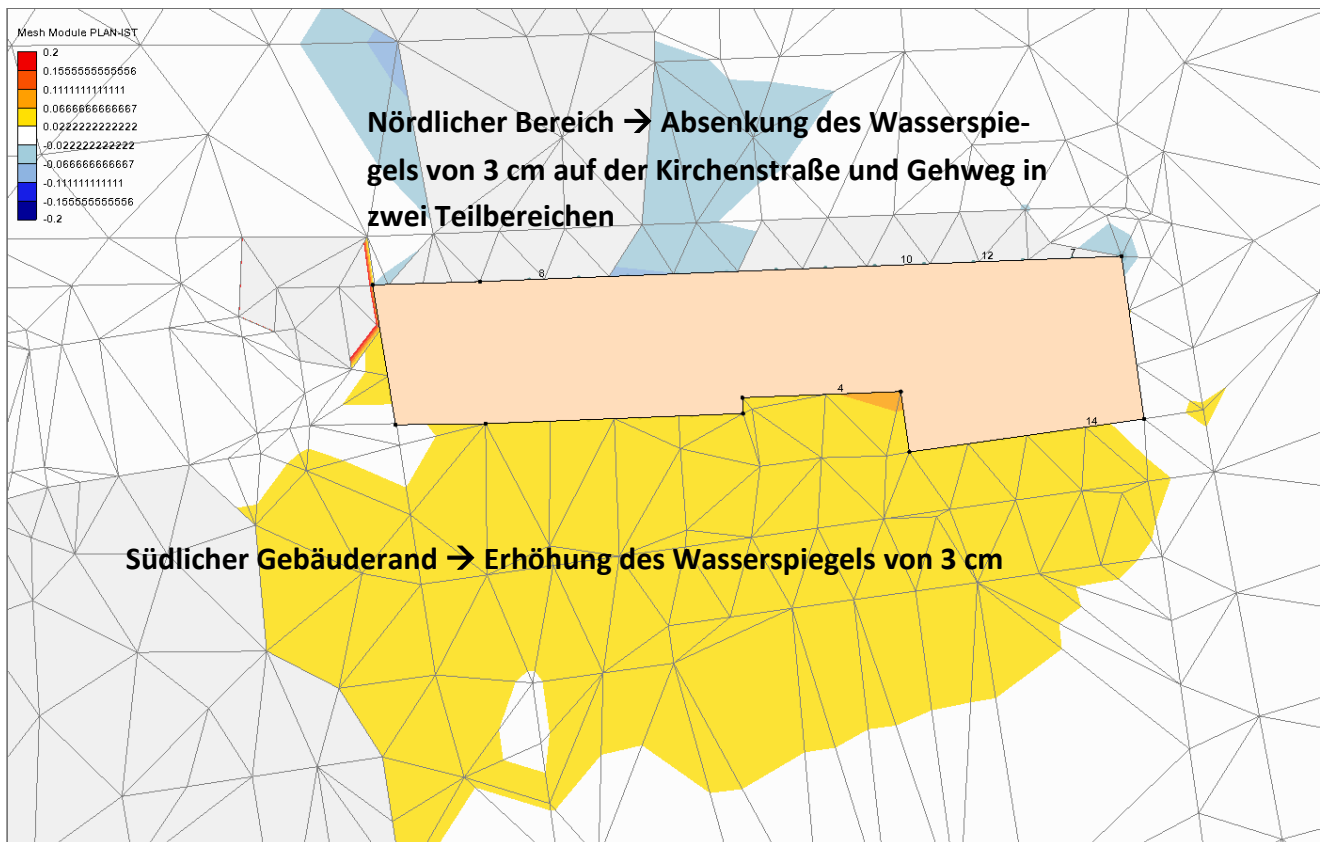


Abbildung 2-1: Vergleich der Wasserspiegel im PLAN-Zustand und IST-Zustand (Differenz: PLAN-Zustand minus IST-Zustand)

Zur Einordnung: Der Aufstauungseffekt tritt in der PLAN-Berechnung vor Allem deshalb auf, weil das Gelände am neu modellierten westlichen Rand des Gebäudes leicht höher liegt (etwa 522,5 m ü. NHN) als an der Westkante des bisherigen Gebäudes. In Planung und Bau kann dieser Aufstauung also leicht entgegengewirkt werden, indem das Gelände auf dem schmalen Streifen westlich der TG-Einfahrt die (geplante) Höhe von 522,43 m ü. NHN nicht überschreitet. So kann das Hochwasser wie im IST-Zustand die Kirchenstraße erreichen. Mit einem Aufstau südlich ist dann nicht mehr zu rechnen.

2.2 Wasserspiegellage im PLAN-Zustand um die Gebäudekubatur

Die Wasserspiegellage im PLAN-Zustand ist unter anderem maßgebend für die Objektbemessung auf dem Flurstück. Abbildung 2-2 und Abbildung 2-3 sind so zu lesen, dass die Höhe des Wasserspiegels in m ü. NHN vom Startpunkt ausgelesen werden können. Tabelle 2-1 gibt die Ergebnisse in Tabellenform wieder.

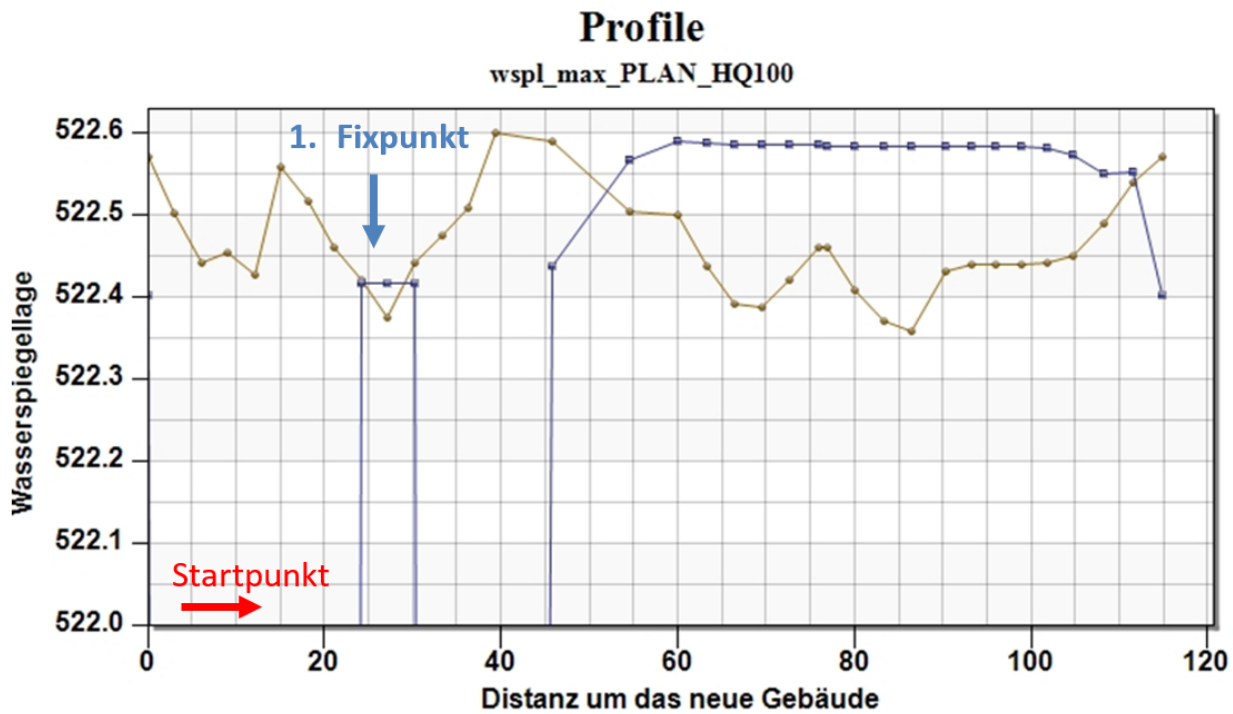


Abbildung 2-2: Wasserspiegellage im PLAN-Zustand [m ü. NHN] entlang der Gebäudekubatur (blau: Wasserspiegellage; braun: Geländehöhe)

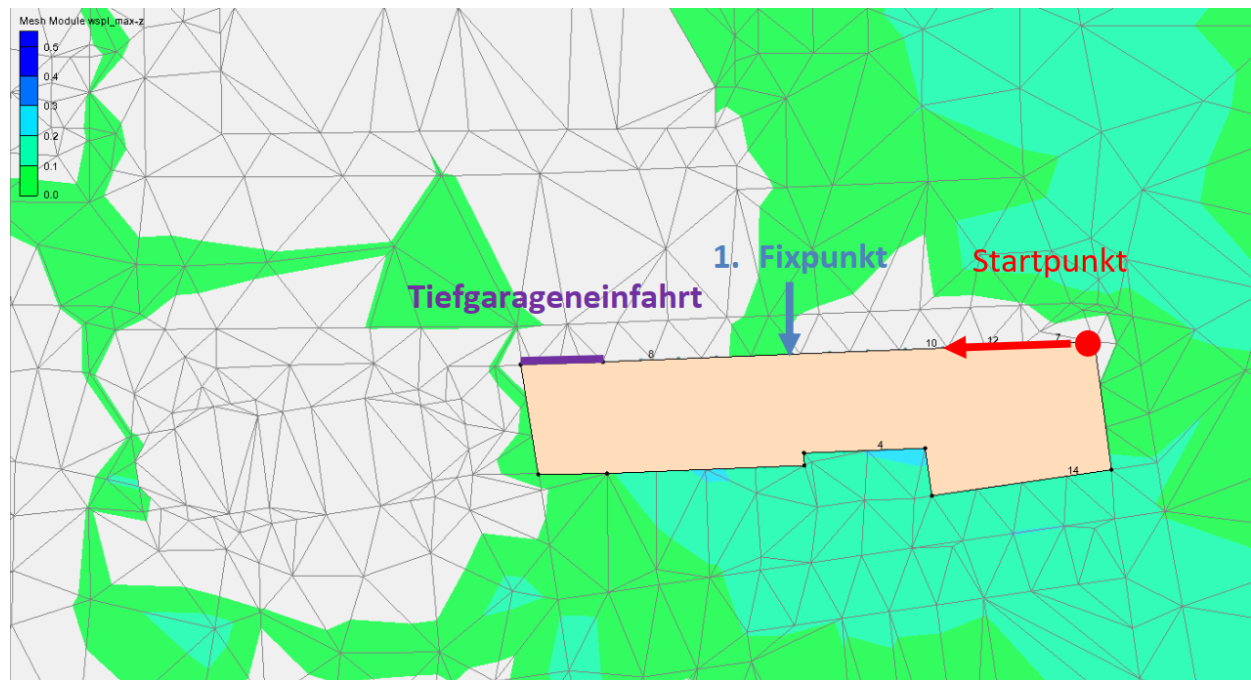


Abbildung 2-3: Übersicht über den Wasserspiegel im PLAN-Zustand um den Baukörper

Tabelle 2-1: Ergebnis Wasserspiegellage um die Gebäudekubatur im PLAN-Zustand vom Startpunkt aus

Distanz vom Startpunkt	Wasserspiegel in m ü. NHN
1	522,4
24,19	522,415
27,21	522,415
30,24	522,415
45,89	522,437
54,57	522,567
60,08	522,589
63,24	522,586
66,39	522,585
69,55	522,584
72,7	522,584
75,86	522,583
77,83	522,583
80,06	522,583
83,3	522,583
86,54	522,583
90,273	522,583
93,17	522,582
96	522,582
98,98	522,582
101,88	522,58
104,78	522,573
108,13	522,549
111,49	522,55
114,85	522,4

Die Ergebnisse zeigen, dass die modellierte Tiefgarage mit 522,60 m ü. NHN im Planzustand nicht eingestaut wird und nicht eingeströmt wird. Der maximale Wasserspiegel auf der Gebäudenordseite beträgt um 522,4 m ü. NHN im HQ100-Fall. Linksseitig und rechtsseitig des neuen Baukörpers im PLAN-Zustand wird es eine Umströmung geben. Auch im Extremfall sind angesichts des nach Norden breitflächig Abfallenden Geländes (Kirchenstraße 522,3 oder tiefer) keine Wasserspiegel an der Tiefgarage über dem Schwellenniveau zu erwarten.

2.3 Ergebnisse Fließgeschwindigkeiten

Die Ergebnisse der Analyse der Fließgeschwindigkeiten zeigen im Bereich der Hauptstraße 6 neben dem Flurstück eine erhöhte Magnitude des Strömungsfeldes der Wassergeschwindigkeiten.

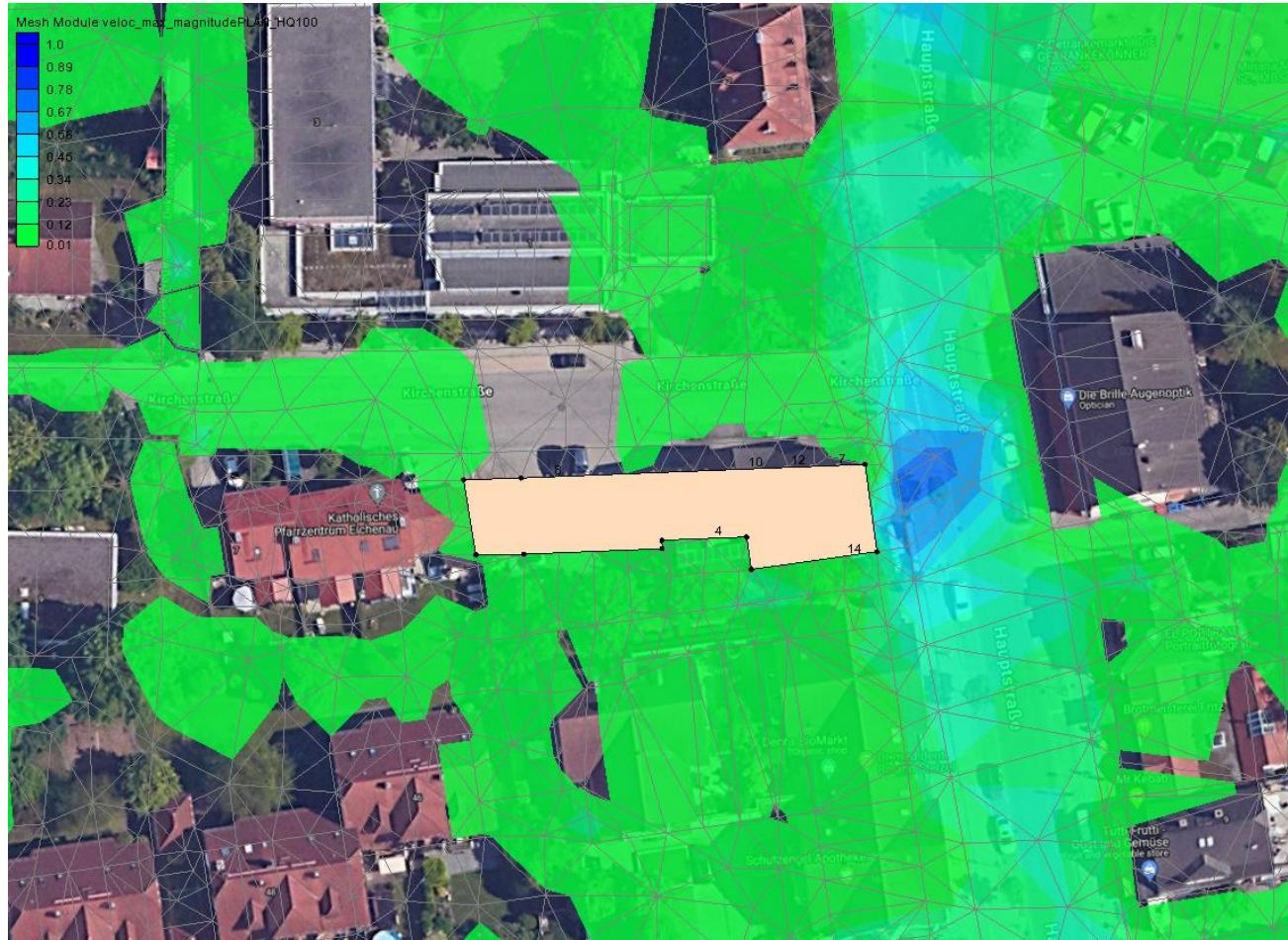


Abbildung 2-4: Magnitude des Geschwindigkeitsfeldes

Die Fließgeschwindigkeiten erreichen nur auf der Hauptstraße Werte über 0.2 m/s. Mit einer Beeinflussung des Fließgeschehens in der Nachbarschaft durch den neuen Baukörper ist nicht zu rechnen. Wenn - wie beschrieben - die Höhenlage des Geländes westlich der TG-Einfahrt eingehalten wird, können signifikante Veränderungen verglichen zum IST-Zustand ausgeschlossen werden.

3 HYDROGEOLOGISCHES GUTACHTEN

3.1 Grundlagenermittlung

Tabelle 3-1: Grundlagenermittlung bzw. Höhenangaben im Plangebiet (Hydrogeologie)

Niveau	m ü. NHN	Quelle
Gebäudenull	522.75	Geotechnischer Bericht
OK Rohbau HW100	522.6	Vorhabenplan Eichenau
HQ100-Kote	522.4	Geotechnischer Bericht
Tiefste Gründung	518.75	Geotechnischer Bericht
Langjähriger mittlere Grundwasserstand (MGW)	519.6	Geotechnischer Bericht
OK FFB	519.2	Geotechnischer Bericht
UK FFB	518.26	Geotechnischer Bericht
Variante 1: geschlossene Bauwasserhaltung 0.8 m	518.8	Berechnung
Variante 2: geschlossene Bauwasserhaltung größer als 1 m	518.6	Berechnung
Grundwasserleiter: Unterkante des Aquifers	512.4	DGM Bayern
Ok Gelände IST	522.4	DGM Bayern

3.2 Auswirkungen des Bauwerks auf das Grundwasser

Analytische Berechnungsverfahren zur Ermittlung der Aufstauwirkung grundwasserbeeinflussender Bauwerke sind aufgrund einer Vielzahl zu berücksichtigender Einflüsse komplex und jeweils für spezifische Fälle anwendbar.

Das Berechnungsverfahren nach Dachler dient zur Bestimmung des Einflusses von Gründungskörpern auf Grundwasserströmungen. Hierfür wird grundlegend ein Modellgebiet wie in Abbildung 3-1 definiert, wobei zwischen fünf Strömungsbereichen und ggf. abweichenden Durchlässigkeiten unterschieden wird.

Im Fall des Untersuchungsgebiets jedoch wurde durch den geotechnischen Bericht ein Mittelwert des Durchlässigkeitsbeiwertes von $k_f = 7.2 \times 10^{-4}$ m/s im Bereich der Tiefgaragen nachgewiesen.

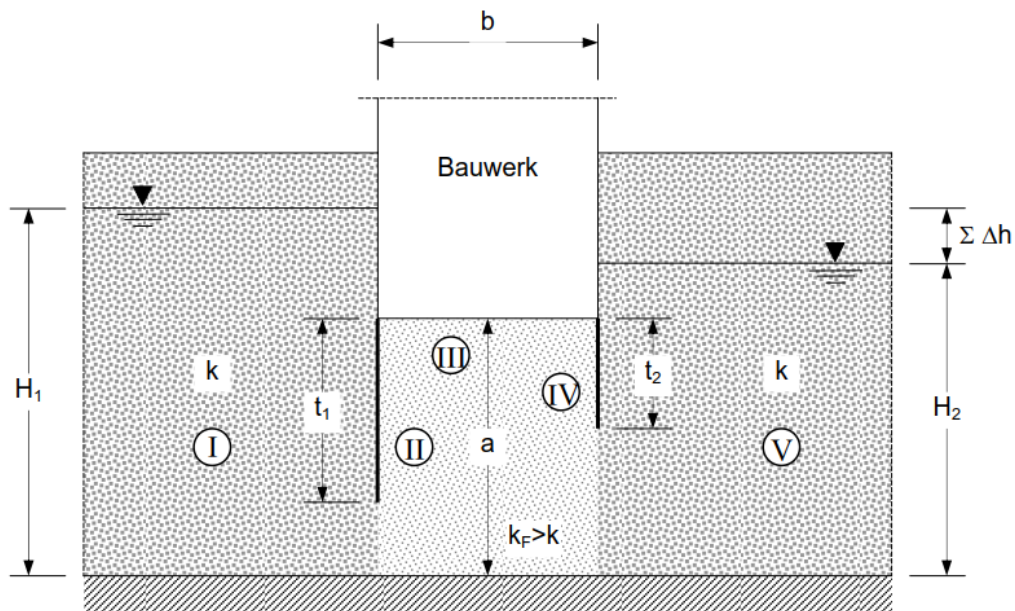


Abbildung 3-1: Strömungsbereiche unter Gründungskörpern nach Dachler

Die Gleichung von Dachler zur Ermittlung der Grundwasserhöhendifferenz in Strömungsrichtung zum Bauwerk ergibt sich im Fall eines lediglich unterströmten Gründungskörpers, welcher in diesem Fall den Tiefgaragen entspricht, zu einer Höhendifferenz Δh von:

$$\Delta h \cong \mp \frac{i * H * k * b}{2 * k_f * a}$$

- mit:
- i hydraulisches Gefälle im ungestörten Zustand [-]
 - H Wasserstandshöhe Grundwasserleiter (Aquifer) in der Bauwerksmitte im ungestörten Zustand [-]
- $k = k_F$ Durchlässigkeitsbeiwert (hier: in allen Bereichen konstant ca. 7.2×10^{-4} m/s)
- b Länge des Gründungskörpers (hier: maximale Länge des Untergeschosses UG bzw. Tiefgarage = 11.45)
 - a Mächtigkeit des Aquifers bis zur Bauwerksunterkante

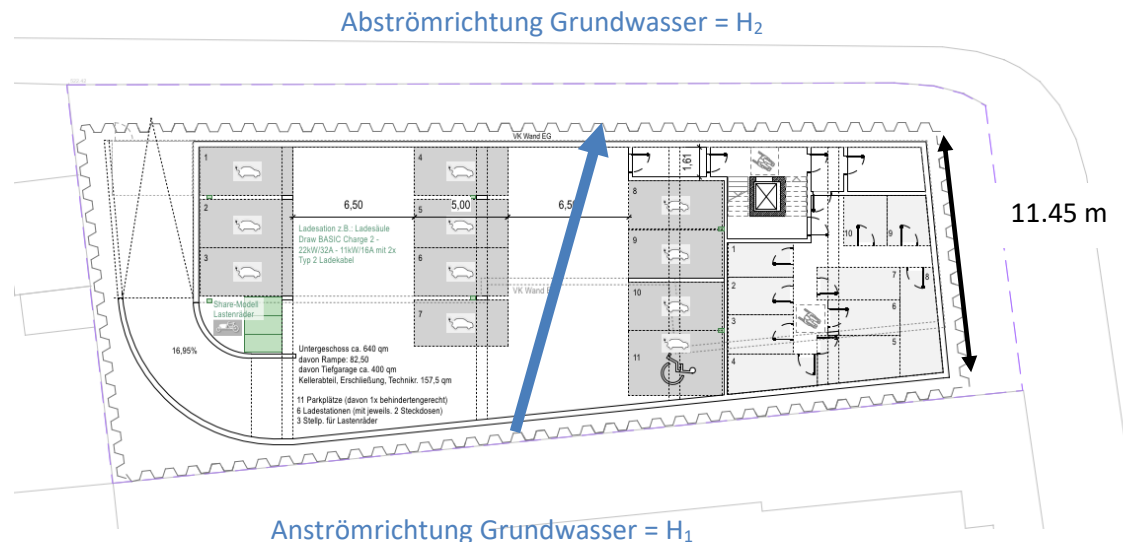


Abbildung 3-2: Anströmrichtung Untergeschoss (UG) bzw. Tiefgarage (TG)

Zur Bestimmung des hydraulischen Gefälles muss zunächst die Fließrichtung des Grundwasserleiters bekannt sein. Anhand zweier parallel zueinander verlaufender Grundwassergleichen kann der gesuchte Gradient als Orthogonale zu diesen ermittelt werden. Als Grundlage dient hierfür eine Grundwassergleichkarte (Hydrogeologisches Dreieck vgl. Abbildung 3-3) mit den mittleren Grundwasserständen innerhalb des Einflussgebiets im Plangebiet an den Messstellen 16224 Olching und 16194 Puchheim und 16212 Gilching. Es ergibt sich ein hydraulisches Gefälle von $i \approx 0,004$. Die maximale Länge der betroffenen vom Grundwasser angeströmten Gründungskörper orthogonal zur Fließrichtung ergibt sich zu etwa 11.45 m (vgl. Abbildung 3-4).

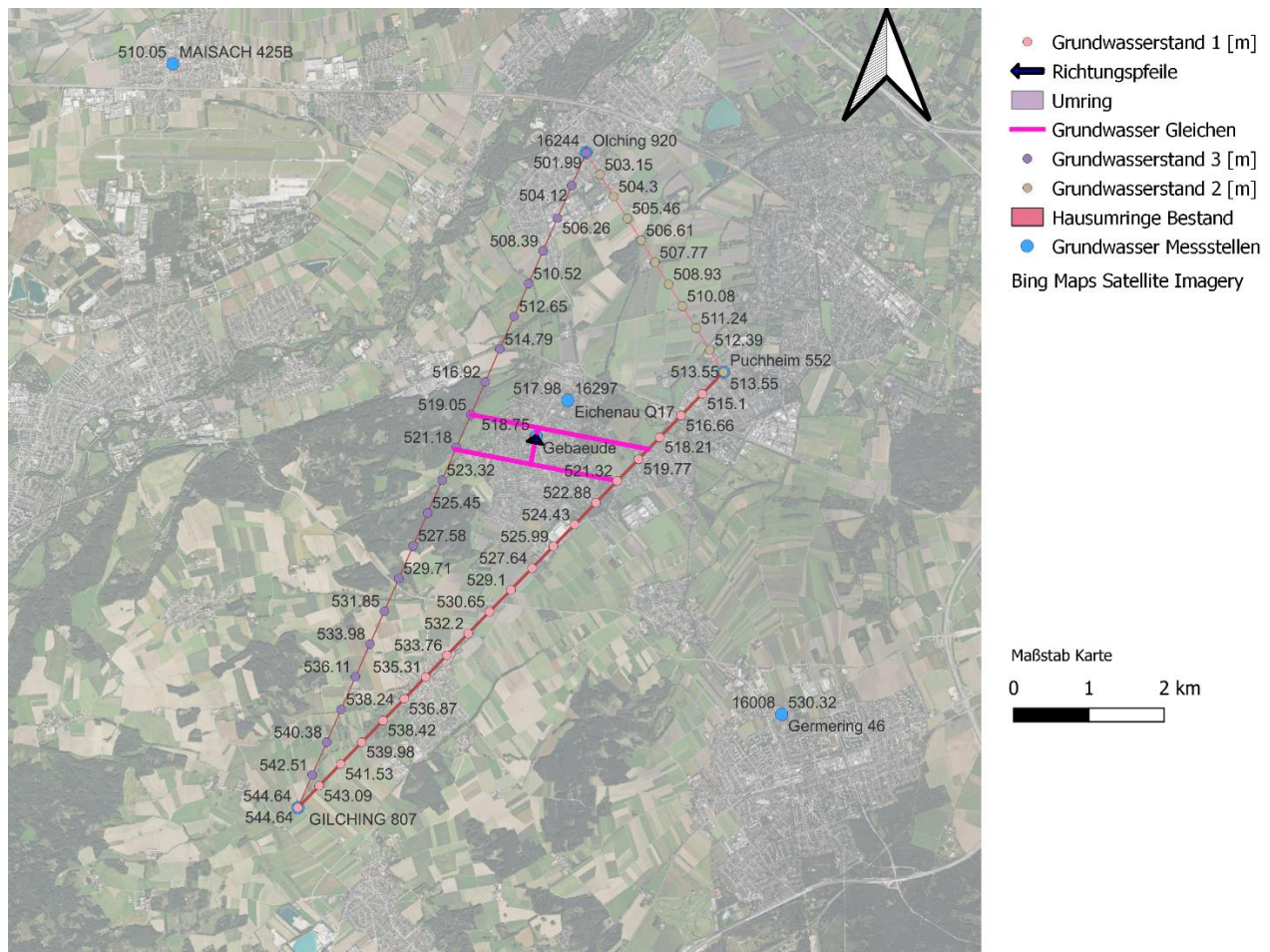


Abbildung 3-3: Grundwassergleichenkarte



Abbildung 3-4: Richtung des Grundwasserflusses

Die durchlässigen Terrassenkiese im Untersuchungsgebiet bilden einen eigenständigen Grundwasserleiter (Aquifer) mit einer Mächtigkeit von ca. 7.2 m. Die Aquifermächtigkeit beeinflusst die Aufstauwirkung maßgeblich. Der Wasserstand H innerhalb des Aquifers wird in diesem Fall als Oberflächennah angenommen, da Flurabstände im Untersuchungsgebiet im Hochwasserfall äußerst gering sein können. Es wird weiterhin von einer Tiefe der Tiefgaragen von 518.26 m ü. NHN ausgegangen. Bei einer Aquifermächtigkeit von 7.2 m beträgt die Höhendifferenz zwischen den Grundwasserständen an den gegenüberliegenden Gebäudewänden ca. 2.7 cm. Es ist nach o.g. Formel mit einem Aufstau an der zur Grundwasserströmung zugewandten Wand der Tiefgarage von ca. 1-2 cm, sowie einer Absenkung des Grundwasserspiegels der gegenüberliegenden Wand von ebenfalls ca. 1-2 cm zu rechnen.

Tabelle 3-2: Ergebnisse Auswirkungen des Bauwerks auf das Grundwasser

Hydraulisches Gefälle i [-]	0.004
Höhe bzw. Mächtigkeit Grundwasserleiter [m]	7.200
kf-Wert bzw. Durchlässigkeitsbeiwert [m/s]	0.00072
a Mächtigkeit des Aquifers bis zu Bauwerksunterkante [m]	5.860
b Länge des Gründungskörpers [m]	11.450
Delta H [m]	0.0270
Delta H [cm]	2.7002
Aufstau bzw. Absenkung [cm]	1.3501

3.3 Auswirkungen des Bauwerks auf die Nachbarn

Aufgrund der geringen Schwankungen von 1-2 cm für den Aufstau des Grundwassers und der Absenkung des Grundwassers wird von keiner Auswirkung des Bauwerks im Endzustand (Ausbauzustand) ausgegangen.

3.4 Auswirkungen beim Führen einer Grundwasserhaltung (Bauzeitliche Wasserhaltung)

3.4.1 Verfahren der Wasserhaltung

Die Herstellung der Baugrube erfolgt mittels grundwasserschonender Bauweise. Die wasserdichte Baugrubenumschließung in Form einer Spundwand wird in die natürliche horizontale Sperrsicht eingebunden. Die Grundwasserzuflüsse werden damit weitgehend verhindert.

Bei der Wasserhaltung mittels Brunnen muss das in der umschlossenen Baugrube vorhandene entwässerbare Porenvolumen gelenzt werden. Die Wasserzuflüsse beschränken sich auf das zulässige Restwasser durch die Leckagen in der Spundwand und des Liegendsbauers sowie in die Baugrube fließendes Niederschlagswasser. Die Tabelle 3-3 gibt eine Übersicht über die aktuellen Höhenangaben im Plangebiet.

Tabelle 3-3: Höhenangaben im Plangebiet

Niveau	m ü. NHN	Quelle
Gebäudenull	522.75	Geotechnischer Bericht
OK Rohbau HW100	522.6	Vorhabenplan Eichenau
HQ100-Kote	522.4	Geotechnischer Bericht
Tiefste Gründung	518.26	Geotechnischer Bericht

Langjähriger mittlere Grundwasserstand (MGW)	519.6	Geotechnischer Bericht
OK FFB	519.2	Geotechnischer Bericht
UK FFB	518.26	Geotechnischer Bericht
Variante 1: geschlossene Bauwasserhaltung 0.8 m	518.8	Berechnung
Variante 2: geschlossene Bauwasserhaltung größer als 1 m	518.6	Berechnung
Grundwasserleiter: Unterkante des Aquifers	512.4	DGM Bayern
OK Gelände IST	522.4	DGM Bayern

- Die Absenkung des GW-Standes ist bauzeitlich auf 517,76 geplant und entsprechend in den Berechnungen berücksichtigt

3.4.2 Bauzeitenplan der Wasserhaltungsmaßnahmen

Die Wasserhaltung muss bis zur Herstellung der Auftriebssicherheit des Gebäudes betrieben werden. Nach derzeitigem Planungsstand wird dies nach Herstellung der 1. Geschossebene angenommen. Hierfür wird einschließlich des Baugrubenaushubes ein Zeitraum von 22 Wochen veranschlagt.

Das mit der Baumaßnahme beauftragte Unternehmen hat in der Ausführungsphase einen Bau- und Einsatzplan zu erstellen, in dem die genauen Zeiträume der Wasserhaltungsmaßnahmen angegeben werden.

3.4.3 Planung der Absenkbrunnen

Zum Lenzen der Baugrube und zur Trockenhaltung der Aushubsohle während der Bauarbeiten werden in einem ersten Rechnungsgang 4 Brunnen mit einem Bohrdurchmesser von 600 mm gewählt. Die benetzte Filterlänge der Brunnen wird mit $h' = 2,00 \text{ m}$ zunächst angenommen. Die Brunnenergiebigkeit ergibt sich zu:

$$q = D \times \pi \times h' \times \frac{\sqrt{k_f}}{15} = 0,6 \times 3,14 \times 2,00 \times \frac{\sqrt{7,2 \times 10^{-4}}}{15} = 0,0067 \frac{m^3}{s} = 24,26 \frac{m^3}{h}$$

q: Zustrom aus einem Brunnen [m^3/s]

D: Brunnendurchmesser [m]

h' : Filterlänge [m]

k_f : Wasserdurchlässigkeit [m/s] (hier: in allen Bereichen konstant ca. $7.2 \times 10^{-4} \text{ m}/\text{s}$)

Damit beträgt die gesamte mögliche Fördermenge im Endzustand:

$$Q = 4 \times 24,26 \approx 97 \frac{m^3}{h}$$

3.4.4 Wassermengen und Reichweiten

Für die Abschätzung der Wassermengen wurden folgende Randbedingungen festgelegt:

- (1) Die Baugrube weist Abmessungen von ca. 39 x 14 m auf. Die maximale Aushubsohle befindet sich bei 518,26 m NHN. Zuzüglich eines Sicherheitszuschlages von ca. 0,5 m liegt der Zielwert der Wasserabsenkung bei ca. 517,76 m NHN. Der Bemessungswasserstand wird bei 519,60 m NHN angesetzt. Der erforderliche Absenkbetrag beträgt demnach bei 1,84 m.
- (2) Hinsichtlich der Baugrundschichtung wird von einer durchgängigen Verbreitung der gering durchlässigen Stauer mit einem Durchlässigkeitsbeiwert von $k_f = 2 \cdot 10^{-7} \text{ m/s}$ ausgegangen. Für die Sande und Kiese wird ein Durchlässigkeitsbeiwert von $k_f = 7,2 \cdot 10^{-4} \text{ m/s}$ zu Grunde gelegt.
- (3) Der grundwasserstauende Horizont wird im Grundstücksbereich erst ab einer Tiefe von etwa 10 m unter Gelände erwartet (OK Stauer 512,00 m NHN). Nichtsdestotrotz werden hier Vorerkundungen bis zu einer Tiefe von 12 m benötigt. Falls der Stauer nicht erkundet wird, muss eine künstliche Dichtsperrung mittels z. B. Gel-Sohle ausgeführt werden.
- (4) Die Einbindetiefe der Spundwand wird mindestens 1,5 m ($UK_{Spundwand} = 510,50 \text{ m NHN}$) in Stauer angenommen.
- (5) Hinsichtlich der anzusetzenden Niederschlagswassermenge wird von einem mittleren Bemessungswert der im Jahr anfallenden Niederschlagswässer von 1,01 m/a ausgegangen¹. Eine Berücksichtigung von jahreszeitlichen Abhängigkeiten erfolgt nicht. Der ermittelte Wert ist als durchschnittliche Grundlast zu definieren. Zur Ermittlung eines vertretbaren Spitzenwertes wird der 1-Stunden Bemessungsregen mit Wiederkehrintervall von einem Jahr von 0,0181 m/1h zu grunde gelegt².
- (6) Der Einflussbereich der Wasserhaltung wird sich aufgrund der grundwasserschonenden Bauweise nur auf den Bereich innerhalb der Baugrube bzw. geringfügig auf den unmittelbaren Nachbereich beschränken.

¹ <https://de.climate-data.org/europa/deutschland/bayern/eichenau-155557/>

² https://www.openko.de/wp-content/uploads/2023/01/KOSTRA_DWD_2020_202164_be0d8166.pdf

- (7) Für die Aushubentwässerung der Baugrube bzw. Bestimmung der Lenzwassermengen wird das Volumen der Baugrube unter Berücksichtigung des Absenziels zu Grunde gelegt. Ein Starkregenereignis wird für diesen Zeitraum nicht berücksichtigt. Für die anstehenden Böden wird von einer entwässerbaren Porosität $n_e = 0,30$ ausgegangen.
- (8) Die Vorlaufzeit der Grundwasserhaltung zum Lenzen der Baugrube wird bei der geplanten Absenk Tiefe mit ca. 48 Stunden (2 Tage) abgeschätzt.
- (9) Eine Ermittlung von Wassermengen über geschlossene Formeln einer Absenkung / Wasserhaltung ist unter den vorgenannten örtlichen Bedingungen nicht zielführend. Vielmehr muss von den vorhandenen und während der Bauzeit zu erwartenden Wasserdargebot ausgegangen werden.

Unter Berücksichtigung der Randbedingungen sind nachfolgend die Ergebnisse der Abschätzungen dargestellt.

Tabelle 3-4: Abschätzung Wassermengen

Beschreibung	Werte
Anfangswassermenge (Lenzen)	
Fläche Baugrube [m^2], A	545
Absenziel [m], $h_s = MGW - BGS + 0,5 = 519,60 - 518,26 + 0,50$	1,84
entwässerbare Porosität, [-] n_e	0,30
Gesamt wassermenge gesamt [m^3], $Q_{T,M,ges} = A \times h_s \times n_e$	300
Vorlaufzeit Entwässerung [h]	48
Wassermenge lenzen [m^3/h], $Q_l = Q_{T,M,ges} / h$	$\approx 6,27$
Niederschlagswässer, mittlere Wassermengen	
Ein zugsgebiet [m^2], A	545
mittlerer Niederschlag im Jahr [m], $q_{mittel,Jahr}$	1,01
Wassermenge [m^3/h], $Q_{N,mittel} = A \times q_{mittel,Jahr} / (8.760 \text{ h im Jahr})$	$\approx 0,1$

Beschreibung	Werte
Niederschlagswässer, maximale Wassermenge (Starkregen)	
Einzugsgebiet [m^2], A	545
maximaler Niederschlag in 1 h (Intervall 1 Jahr) [m], $q_{max,1h}$	0,0181
Spitzenabfluss [m^3/h], $Q_{N,max} = A \times q_{max,1h} / 1 h$	$\approx 9,86$
Restwassermenge Baugrubenumschließung	
Systemdurchlässigkeit [$l/s * 1.000m^2$], q	1,5
Umfang Baugrubenumschließung [m], U	105
Benetzte Baugrubenwand [m], h_s	1,84
Wassermenge Baugrubenumschließung [m^3/h], $Q_{BG} = U \times q \times h_s$	$\approx 0,29$
Restwassermenge Zufluss Sohlschicht	
Vertikale Durchlässigkeit Dichtschicht [m/s], k_f	$2,0 * 10^{-7}$
Mächtigkeit Dichtschicht [m], d	1,5
Potenzialdifferenz Grundwasser [m], $\Delta H = MGW - UK_{Spundw.}$	9,10
Fläche Baugrube [m^2], A	545
Sohlwassermenge [m^3/h], $Q_S = k_f \times A \times \Delta H / d$	$\approx 2,38$
Förderraten	
Trogentleerung [m^3/h], $Q_T = Q_i + Q_{BG} + Q_S + Q_{N,mittel}$	9,04
mittlere Wassermengen [m^3/h], $Q_{mittel} = Q_{BG} + Q_S + Q_{N,mittel}$	2,77
maximale Wassermengen [m^3/h], $Q_{max} = Q_{BG} + Q_S + Q_{N,max}$	12,53
Gesamtfördermengen	
Trogentleerung [m^3], $Q_{T,M,ges}$	300

Beschreibung	Werte
Dauer Wasserhaltung	22 Wochen
mittlere Gesamtwassermenge [m^3], $Q_{mittel,M} = Q_{mittel} \times 22 \times 7 \times 24 + Q_{T,M,ges}$	10.538
Zuschlag [-], Z	1,2
Gesamtwassermenge [m^3], $Q \times Z = (Q_{T,M,ges} + Q_{mittel,M}) \times Z \approx$	12.650

Für die Wasserhaltung ist bei einer anzunehmenden Dauer von 22 Wochen von einer Gesamtwassermenge einschließlich Trogentleerung von ca. **12.650 m³** auszugehen. Bei häufigen Auftreten von Starkniederschlägen sind geringfügig höhere Wassermengen zu erwarten.

3.4.5 Grundwasserverhältnisse außerhalb des Troges

Die Beeinflussung der Grundwasserverhältnisse außerhalb der Trogbaugrube wird bei der anzuwendenden Bautechnologie unbedenklich sein. Die minimalen Entnahmen im Rahmen der Restwasserhaltung innerhalb des Troges sind bezogen auf die Durchlässigkeiten und die natürlichen Schwankungsbreiten der Wasserstände im Aquifer zu vernachlässigen.

Vereinfachend kann eine Entnahme aus der Baugrube als Entnahmestellen betrachtet werden. Die berechneten Ergebnisse zu den Auswirkungen auf die Grundwasserverhältnisse außerhalb der Trogbaugrube liegen auf der ungünstigen Seite und werden sich in der Realität geringer darstellen.

Bei Zugrundelegung nachfolgender Eingangswerte ergeben sich die nachfolgenden Berechnungen:

Q: ständige Entnahmemenge = 2,77 m³/h

a: die längere Seite der Fläche = 39 m

b: die kürzere Seite der Fläche = 14 m

$m = a/b = 39/14 \approx 2,8 \rightarrow \eta = 0,98$ (Bild 57³)

A_{RE} : Form und Größe der Baugrube = $\eta \times b = 0,98 \times 14 = 13,72$ m

k_f : Durchlässigkeit = $7,2 \times 10^{-4}$ m/s = 2,592 m/h

³ Herth W., Arndts E.: Theorie und Praxis der Grundwasserabsenkung

t: 22 Wochen = $22 \times 7 \times 24 = 3.696 \text{ h}$

H: Eintauchtiefe: MGW – UK_{Spundwand} = $519,60 - 510,50 = 9,10 \text{ m}$

p: nutzbarer Porenanteil = 0,30

h: Brunnenunterkante bis abgesenkter Wasserspiegel [m]

s: Absenktiefe außerhalb des Troges [m]

$$\frac{H^2 - h^2}{2 \times H} = \frac{2,3 \times Q}{4 \times \pi \times k_f \times H} \times \lg \left(\frac{2,25 \times k_f \times H \times t}{A_{RE}^2 \times p} \right)$$

$$\frac{9,10^2 - h^2}{2 \times 9,10} = \frac{2,3 \times 2,77}{4 \times \pi \times 2,592 \times 9,10} \times \lg \left(\frac{2,25 \times 2,592 \times 9,10 \times 3696}{13,72^2 \times 0,3} \right)$$

$$h = 9,02 \text{ m}$$

$$s = H - h = 9,10 - 9,02 = 0,08 \text{ m}$$

$$\text{Reichweite gemäß Sichardt} \rightarrow R = 3000 \times s \times \sqrt{k_f} = 3000 \times 0,08 \times \sqrt{0,00072} = 6,45 \text{ m}$$

Der Grundwasserspiegel wird außerhalb des Troges an den Umschließungswänden mit einer k_f von $7,2 \times 10^{-4} \text{ m/s}$ um $0,08 \text{ m}$ abgesenkt.

Die temporäre Auswirkung der Wasserhaltung auf die Grundwasserverhältnisse wird als marginal eingeschätzt.

CDM Smith SE

2024-04-17

erstellt:



Dipl.-Ing. Heiko Nöll

Maik Solbrig

Jonathan Pietsch

ANHANG

1.1 Flächenbilanz ATV-A-138

1.2 Muldenbemessung ATV-A-138

1.3 Rigolenbemessung ATV-A-138

Grundriss Erdgeschoss

M 1:200

Die Darstellung des Erdgeschossgrundrisses zeigt den klaren Gebäudekörper mit der Gewerbefläche im Osten an der Ecke Hauptstraße und Kirchenstrasse.

Im Westen befindet sich eine großzügige Familienwohnung mit eigenem Garten.

Die Einfahrt der neu geplanten Tiefgarage befindet sich ganz im Westen des Grundstückes, ohne den Verkehrsfluss an der Kreuzung zu beeinträchtigen.

Neben einem Spielplatz für die Bewohner des Grundstückes wird eine großzügige Anlage für Fahrradstellplätze mit Dach- und Fassadenbegrünung vorgesehen.



Vorhaben und Erschliessungspläne

Neubau eines Mehrfamilienhauses mit Gewerbeeinheit und Tiefgarage
Hauptstraße 6, 82223 Eichenau
Gemarkung Alling, Flstk.-Nr. 1950/5

Houben Vermögensverwaltung GmbH

Alte Hof 6, 80331 München
Tel. 089 / 29 19 00-0
burghart.houben@houben.com

TEAMWERK ARCHITEKTEN

Kirchenstraße 88, 81675 München
Tel. 089 / 54 54 79 23
info@teamwerk-architekten.de

STAND: 30.04.2025

DinA3Q



**Ermittlung der abflusswirksamen Flächen A_u
nach Arbeitsblatt DWA-A 138**

Flächentyp	Art der Befestigung mit empfohlenen mittleren Abflussbeiwerten Ψ_m	Teilfläche $A_{E,i} [m^2]$	$\Psi_{m,i}$ gewählt	Teilfläche $A_{u,i} [m^2]$
Schrägdach	Metall, Glas, Schiefer, Faserzement: 0,9 - 1,0	143	0,90	129
	Ziegel, Dachpappe: 0,8 - 1,0			
Flachdach (Neigung bis 3° oder ca. 5%)	Metall, Glas, Faserzement: 0,9 - 1,0			
	Dachpappe: 0,9			
	Kies: 0,7			
Gründach (Neigung bis 15° oder ca. 25%)	humusiert <10 cm Aufbau: 0,5	404	0,50	202
	humusiert >10 cm Aufbau: 0,3			
Straßen, Wege und Plätze (flach)	Asphalt, fugenloser Beton: 0,9			
	Pflaster mit dichten Fugen: 0,75			
	fester Kiesbelag: 0,6			
	Pflaster mit offenen Fugen: 0,5			
	lockerer Kiesbelag, Schotterrasen: 0,3			
	Verbundsteine mit Fugen, Sickersteine: 0,25			
	Rasengittersteine: 0,15			
Böschungen, Bankette und Gräben	toniger Boden: 0,5			
	lehmiger Sandboden: 0,4			
	Kies- und Sandboden: 0,3			
Gärten, Wiesen und Kulturland	flaches Gelände: 0,0 - 0,1			
	steiles Gelände: 0,1 - 0,3	381	0,20	76

Gesamtfläche Einzugsgebiet $A_E [m^2]$	928
Summe undurchlässige Fläche $A_u [m^2]$	407
resultierender mittlerer Abflussbeiwert $\Psi_m [-]$	0,44

Bemerkungen:

Dimensionierung einer Versickerungsmulde nach Arbeitsblatt DWA-A 138

Mulde Bemessung Eichenau Hauptstraße 6

Auftraggeber:

Houben Vermögensverwaltung GmbH
Alter Hof 6
80331 München

Muldenversickerung:

Muldenversickerung

$$\text{Eingabedaten: } V = [(A_u + A_s) * 10^{-7} * r_{D(n)} - A_s * k_f / 2] * D * 60 * f_z$$

Einzugsgebietsfläche	A_E	m^2	928
Abflussbeiwert gem. Tabelle 2 (DWA-A 138)	Ψ_m	-	0,44
undurchlässige Fläche	A_u	m^2	407
Versickerungsfläche	A_s	m^2	28
Durchlässigkeitsbeiwert der gesättigten Zone	k_f	m/s	1,0E-04
gewählte Regenhäufigkeit	n	1/Jahr	0,20
Zuschlagsfaktor	f_z	-	1,20

örtliche Regendaten:

D [min]	$r_{D(n)}$ [$\text{l}/(\text{s} * \text{ha})$]
5	386,7
10	251,7
15	193,3
20	159,2
30	121,1
45	91,5
60	74,7
90	56,1
120	45,8
180	34,4
240	28,1
360	21,1
540	15,8
720	12,8
1080	9,6
1440	7,8
2880	4,8
4320	3,6

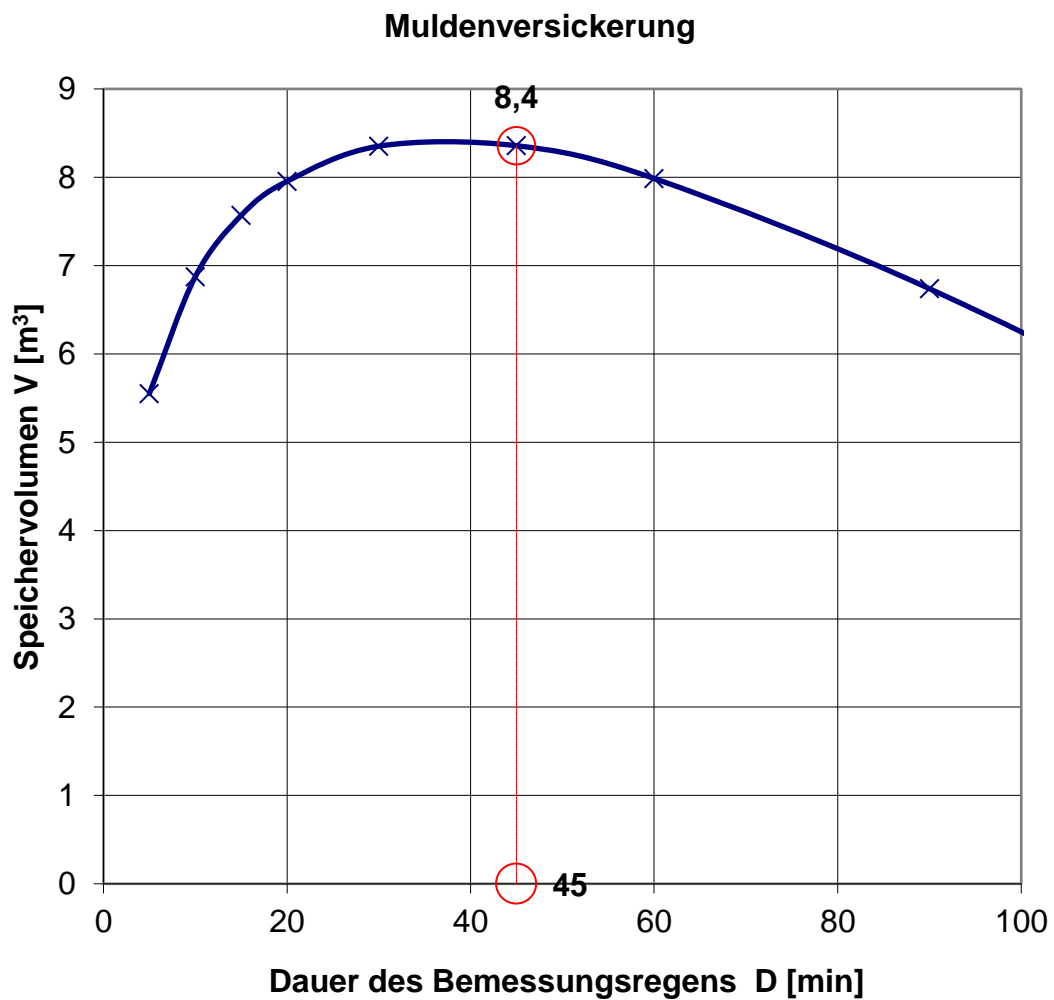
Berechnung:

V [m^3]
5,6
6,9
7,6
8,0
8,4
8,4
8,0
6,7
5,1
1,2
0,0
0,0
0,0
0,0
0,0
0,0
0,0

Dimensionierung einer Versickerungsmulde nach Arbeitsblatt DWA-A 138

Ergebnisse:

maßgebende Dauer des Bemessungsregens	D	min	45
maßgebende Regenspende	$r_{D(n)}$	$l/(s^*ha)$	91,5
erforderliches Muldenspeichervolumen	V	m^3	8,4
gewähltes Muldenspeichervolumen	V_{gew}	m^3	8,4
Einstauhöhe in der Mulde	z_M	m	0,30
Entleerungszeit der Mulde	t_E	h	1,7



Dimensionierung Rigole / Rohr-Rigole nach DWA-A 138-1

CDM Smith SE

Westendstraße 193, 80686 München

Auftraggeber:

Houben Vermögensverhaltung GmbH

Alter Hof 6, 80331 München

Rigolenversickerung:

Rigole Bemessung Eichenau Hauptstraße 6

Versickerung aus der Rigole über: Seiten-, Stirn- und Sohlflächen (gem DWA-A 138-1)

$$\blacktriangleright L_R = [AC * 10^{-7} * r_{D(n)} - b_R * h_R * k_i - Q_{Dr} * 10^{-3} - V_{Sch} / (D * 60 * f_z)] / [(b_R * h_R * s_R) / (D * 60 * f_z) + (b_R + h_R) * k_i]$$

$$L_R = [AC * 10^{-7} * r_{D(n)} - b_R * h_R * k_i - Q_{Dr} * 10^{-3} - V_{Sch} / (D * 60 * f_z)] / [(b_R * h_R * s_R) / (D * 60 * f_z) + h_R * k_i]$$

$$L_R = [AC * 10^{-7} * r_{D(n)} - Q_{Dr} * 10^{-3} - V_{Sch} / (D * 60 * f_z)] / [(b_R * h_R * s_R) / (D * 60 * f_z) + b_R * k_i]$$

Eingabedaten:

Einzugsgebietsfläche	$A_{E,b,a}$	m^2	928
Abflussbeiwert (Flächengewichteter Mittelwert aller C_i)	C	-	0,44
Rechenwert für die Bemessung	AC	m^2	408
Durchlässigkeitsbeiwert der gesättigten Zone	k_f	m/s	1,0E-04
Korrekturfaktor Variabilität des Bodens	f_{Ort}	-	
Korrekturfaktor Bestimmungsmethode Wasserdurchlässigkeit	$f_{Methode}$	-	
Bemessungsrelevante Infiltrationsrate	k_i	m/s	1,0E-04
Höhe der Rigole	h_R	m	0,70
Breite der Rigole	b_R	m	1,50
Speicherkoefizient des Füllmaterials der Rigole	s_F	-	0,90
Außendurchmesser Rohr(e) in der Rigole	d_a	mm	
Innendurchmesser Rohr(e) in der Rigole	d_i	mm	
gewählte Anzahl der Rohre in der Rigole	az	-	1
Speicherkoefizient der Rigole	s_R	-	0,900
mittlerer Drosselabfluss aus der Rigole	Q_{Dr}	l/s	0
gewählte Regenhäufigkeit	n	1/Jahr	0,2
Zuschlagsfaktor	f_z	-	1,20
anrechenbares Schachtvolumen	V_{Sch}	m^3	0

Ergebnisse:

maßgebende Dauer des Bemessungsregens	D	min	20
maßgebende Regenspende	$r_{D(n)}$	$l/(s^*ha)$	139,2
erforderliche Rigolenlänge	L	m	6,37
gewählte Rigolenlänge	L_{gew}	m	6,4
vorhandenes Speichervolumen Rigole	V_R	m^3	6,05
Spez. Versickerungs-/Abflussleistung bez. auf AC	$q_{s,AC}$	$l/(s^*ha)$	37,05
Verhältnis AC / A_s	AC / A_s	$l/(s^*ha)$	26,99

Bemessungsprogramm RW-Tools-A138.xlsx 8.1.1 Lizenznummer: RWA0006

© 2024 - Institut für technisch-wissenschaftliche Hydrologie GmbH

Engelbosteler Damm 22, 30167 Hannover, Tel.: 0511-97193-0, www.itwh.de

Dimensionierung Rigole / Rohr-Rigole nach DWA-A 138-1

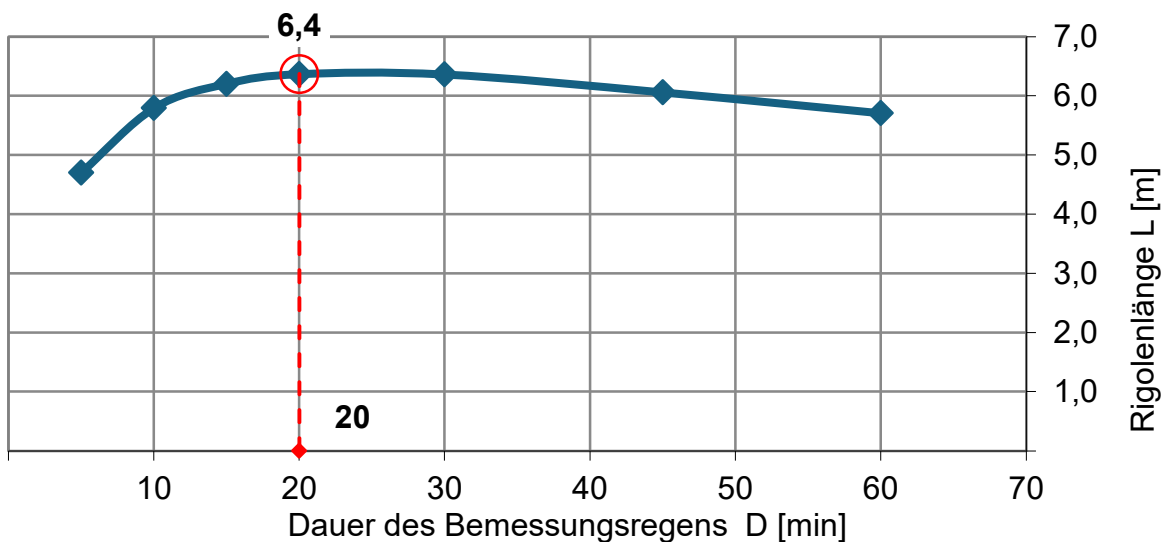
Nachweis Wasseraustritt aus dem Vollsickerrohr :

Anzahl Sickeröffnungen je Meter Versickerungsrohr	az_{SO}	1/m	
Größe der Sickeröffnungen	A_{SO}	cm^2	
spezifischer Wasseraustritt	q_{vs}	$l/(s.m)$	0,00
Gesamtlänge der Vollsickerohre in der Rigole	$L_{D,vorhanden}$	m	6,40
Leistung Wasseraustritt Vollsickerrohr	$Q_{Austritt}$	l/s	0,00
Maßgende Regenspende $r_{(5,n)}$	$r_{(5,n)}$	$l/(s*ha)$	330,00
maßgebender Wasserzufluss $Q_{zu} = r_{(5,n)} * AC$	Q_{zu}	l/s	13,47
Erforderliche Länge Vollsickerrohre	$L_{D,erf}$	m	0,00

örtliche Regendaten:

Berechnung:

D [min]	$r_{D(n)} [l/(s*ha)]$	$L_R [m]$
5	330,0	4,7
10	220,0	5,8
15	168,9	6,2
20	139,2	6,4
30	105,0	6,4
45	78,5	6,1
60	63,9	5,7
90	47,6	5,0
120	38,5	4,5
180	28,4	3,6
240	23,0	3,0
360	17,0	2,3
540	12,6	1,7
720	10,1	1,3
1.080	7,5	0,9
1.440	6,0	0,6
2.880	3,6	0,2
4.320	2,6	0,0



Bemessungsprogramm RW-Tools-A138.xlsx 8.1.1 Lizenznummer: RWA0006

© 2024 - Institut für technisch-wissenschaftliche Hydrologie GmbH
Engelbosteler Damm 22, 30167 Hannover, Tel.: 0511-97193-0, www.itwh.de